

Variante alla SS12 da Buttapietra
alla tangenziale SUD di Verona

PROGETTO DEFINITIVO

COD. VE92

PROGETTAZIONE:	MANDATARIA:		MANDANTI:		No.Do. e Servizi s.r.l. Società di Ingegneria		
RAGGRUPPAMENTO				IDRO.STRADE s.r.l.			
PROGETTISTI							

IL RESPONSABILE DELL'INTEGRAZIONE DELLE PRESTAZIONI SPECIALISTICHE:

Ing. Antonino Alvaro – SIGECO ENGINEERING srl
Ordine Ingegneri Provincia di Cosenza n. A282

IL COORDINATORE PER LA SICUREZZA IN FASE DI PROGETTAZIONE:

Arch. Giuseppe Luciano – SIGECO ENGINEERING srl
Ordine Architetti Provincia di Reggio Calabria n. A2316

I GEOLOGI:

Dott. Geol. Domenico Carrà – SIGECO Eng. srl Ordine Geologi della Calabria n. 641
Dott. Geol. Francesco Molinaro – SIGECO Eng. srl Ordine Geologi della Calabria n. 1063

VISTO:IL RESPONSABILE DEL PROCEDIMENTO:

Ing. Antonio Marsella

IL PROGETTISTA:

Arch. Giuseppe Luciano – SIGECO Eng. srl Ordine Architetti di Reggio Cal. n. A2316

Ing. Francesco Tucci – IDROSTRADE srl Ordine Ingegneri Cosenza n. A922

Ing. Carmine Guido – NO.DO. e Serv. srl Ordine Ingegneri Cosenza n. A1379

Ing. Sandro D'Agostini – Ordine Ingegneri Belluno n. A457

Ing. Antonio Barci – BARCI Eng. srl Ordine Ingegneri Cosenza n. A1003

GRUPPO DI PROGETTAZIONE:

Ing. Giovanni Costa – Steel Project Engineering – Ordine Ingegneri Livorno n. A1632

Arch. Alessandra Alvaro – SIGECO Eng. srl Ordine Architetti Cosenza n. A1490

Ing. Gaetano Zupo – SIGECO Eng. srl Ordine Ingegneri Cosenza n. A5385

Geom. Giuseppe Crispino – SIGECO Eng. srl Collegio Geometri Potenza n. 2296

Ing. Paola Tucci – IDROSTRADE srl Ordine Ingegneri Cosenza n. A5488

Ing. Mario Perri – IDROSTRADE srl Ordine Ingegneri Cosenza n. A3784

Arch. Simona Tucci – IDROSTRADE srl Ordine Ingegneri Cosenza n. A1637

Ing. Roberto Scrivano – NO.DO. e Serv. srl Ordine Ingegneri Cosenza n. A2061

Ing. Emiliano Domestico – NO.DO. e Serv. srl Ordine Ingegneri Cosenza n. A5501

Geol. Carolina Simone – NO.DO. e Serv. srl Ordine Geologi della Calabria n. 730

Ing. Giorgio Barci – BARCI Eng. srl Ordine Ingegneri Prov. di Cosenza n. A5873

Dott.ssa Laura Casadei – Kora s.r.l. – Iscr. el. Operatori abilitati Archeologia Prev. n. 2248

**S.22 Muro di sostegno MS22
RELAZIONE DI CALCOLO**

CODICE PROGETTO		NOME FILE			REV.	SCALA:
		T00MS22STRRE01_A				
CO VE0029 D 2001		CODICE ELAB. T00MS22STRRE01			A	VARIE
D						
C						
B						
A	EMISSIONE	DIC 2021	Sigeco Engineering Srl	Ing. G. Zupo	Arch. G. Luciano	Ing. A. Alvaro
REV.	DESCRIZIONE	DATA	SOCIETA'	REDATTO	VERIFICATO	APPROVATO

Sommario

1.	INTRODUZIONE	2
2.	RIFERIMENTI NORMATIVI E BIBLIOGRAFICI	2
3.	RICHIAMI TEORICI.....	3
3.1.	Calcolo della spinta sui piedritti.....	3
3.1.1.	Spinta attiva - Metodo di Coulomb.....	3
3.1.2.	Spinta in presenza di falda	4
3.1.3.	Spinta a riposo.....	4
3.1.4.	Spinta in presenza di sisma	4
3.2.	Verifica al carico limite.....	5
3.3.	Riduzione per eccentricità del carico.....	7
3.4.	Riduzione per effetto piastra	7
3.5.	Strategia di soluzione	7
4.	CARATTERIZZAZIONE GEOTECNICA	8
4.1.	Unità geotecniche	8
5.	SISMICITA'	11
6.	IMPOSTAZIONI DI PROGETTO	11
7.	DATI DI INPUT	13
8.	DICHIARAZIONI SECONDO N.T.C. 2018 (punto 10.2).....	41

1. INTRODUZIONE

Le opere oggetto della presente relazione di calcolo, sono parte integrante del progetto definitivo denominato "Variante alla SS 12 da Buttapietra alla tangenziale SUD di Verona". Il documento riporta la schematizzazione e il dimensionamento delle opere di sostegno complementari alla realizzazione del tracciato stradale. Le tipologie di opere in progetto sono riassunte in muri a mensola in c.a. con fondazioni superficiali o fondati su pali trivellati, in funzione del terreno su cui insiste l'opera. Tuttavia, per il tratto relativo alle opere di sostegno MS21 e MS22 è stato ritenuto opportuno prevedere dei muri ad "U" a sostegno del terrapieno prospiciente alla strada. Per meglio comprendere la schematizzazione e la tipologia di opera impiegata in ogni tratto si rimanda agli elaborati grafici relativi al singolo manufatto. I paragrafi successivi riportano le verifiche effettuate per il dimensionamento dell'opera denominata MS22. L'estensione complessiva in pianta del muro, è pari a circa m 7.40, per come è possibile desumere dagli elaborati grafici. L'altezza dei piedritti è variabile ed è dettata dall'andamento longitudinale del terrapieno da sostenere. L'altezza massima del piedritto in verticale sarà pari a m 7.00 misurata rispetto allo spiccatto della piastra di fondazione. Di seguito sono riportate le verifiche effettuate per il dimensionamento.

2. RIFERIMENTI NORMATIVI E BIBLIOGRAFICI

- Legge nr. 1086 del 05/11/1971.
- Norme per la disciplina delle opere in conglomerato cementizio, normale e precompresso ed a struttura metallica.
- Legge nr. 64 del 02/02/1974.
- Provvedimenti per le costruzioni con particolari prescrizioni per le zone sismiche.
- D.M. LL.PP. del 11/03/1988.
- Norme tecniche riguardanti le indagini sui terreni e sulle rocce, la stabilità dei pendii naturali e delle scarpate, i criteri generali e le prescrizioni per la progettazione, l'esecuzione e il collaudo delle opere di sostegno delle terre e delle opere di fondazione.
- D.M. LL.PP. del 14/02/1992.
- Norme tecniche per l'esecuzione delle opere in cemento armato normale e precompresso e per le strutture metalliche.
- D.M. 9 Gennaio 1996
- Norme Tecniche per il calcolo, l'esecuzione ed il collaudo delle strutture in cemento armato normale e precompresso e per le strutture metalliche
- D.M. 16 Gennaio 1996
- Norme Tecniche relative ai 'Criteri generali per la verifica di sicurezza delle costruzioni e dei carichi e sovraccarichi'
- D.M. 16 Gennaio 1996
- Norme Tecniche per le costruzioni in zone sismiche
- Circolare Ministero LL.PP. 15 Ottobre 1996 N. 252 AA.GG./S.T.C.

- Istruzioni per l'applicazione delle Norme Tecniche di cui al D.M. 9 Gennaio 1996
- Circolare Ministero LL.PP. 10 Aprile 1997 N. 65/AA.GG.
- Istruzioni per l'applicazione delle Norme Tecniche per le costruzioni in zone sismiche di cui al D.M. 16 Gennaio 1996
- Norme Tecniche per le Costruzioni 2018 (D.M. 17 Gennaio 2018)
- Circolare C.S.LL.PP. 21/01/2019 n.7 - Istruzioni per l'applicazione dell'Aggiornamento delle Norme tecniche per le costruzioni di cui al D.M. 17 gennaio 2018

3. RICHIAMI TEORICI

Il calcolo dei muri di sostegno viene eseguito secondo le seguenti fasi:

- Calcolo della spinta del terreno
- Verifica a ribaltamento
- Verifica a scorrimento del muro sul piano di posa
- Verifica della stabilità complesso fondazione terreno (carico limite)
- Verifica della stabilità globale

Se il muro è in calcestruzzo armato: Calcolo delle sollecitazioni sia del muro che della fondazione, progetto delle armature e relative verifiche dei materiali.

Se il muro è a gravità: Calcolo delle sollecitazioni sia del muro che della fondazione e verifica in diverse sezioni al ribaltamento, allo scorrimento ed allo schiacciamento.

3.1. Calcolo della spinta sui piedritti

3.1.1. Spinta attiva - Metodo di Coulomb

La teoria di Coulomb considera l'ipotesi di un cuneo di spinta a monte della parete che si muove rigidamente lungo una superficie di rottura rettilinea. Dall'equilibrio del cuneo si ricava la spinta che il terreno esercita sull'opera di sostegno. In particolare Coulomb ammette, al contrario della teoria di Rankine, l'esistenza di attrito fra il terreno e la parete, e quindi la retta di spinta risulta inclinata rispetto alla normale alla parete stesso di un angolo di attrito terra-parete.

L'espressione della spinta esercitata da un terrapieno, di peso di volume γ , su una parete di altezza H , risulta espressa secondo la teoria di Coulomb dalla seguente relazione (per terreno incoerente).

$$S = 1/2\gamma H^2 K_a$$

$$K_a = \frac{\sin(\alpha + \phi)}{\sin^2\alpha \sin(\alpha - \delta) \left[1 + \frac{\sqrt{[\sin(\phi + \delta)\sin(\phi - \beta)]}}{\sqrt{[\sin(\alpha - \delta)\sin(\alpha + \beta)]}} \right]^2}$$

dove ϕ è l'angolo d'attrito del terreno, α rappresenta l'angolo che la parete forma con l'orizzontale ($\alpha = 90^\circ$ per parete verticale), δ è l'angolo d'attrito terreno-parete, β è l'inclinazione del terrapieno rispetto all'orizzontale. La spinta risulta inclinata dell'angolo d'attrito terreno-parete δ rispetto alla normale alla parete.

Il diagramma delle pressioni del terreno sulla parete risulta triangolare con il vertice in alto. Il punto di applicazione della spinta si trova in corrispondenza del baricentro del diagramma delle pressioni ($1/3 H$ rispetto alla base della parete). L'espressione di K_a perde di significato per $\beta > \phi$. Questo coincide con quanto si intuisce fisicamente: la pendenza del terreno a monte della parete non può superare l'angolo di natural declivio del terreno stesso.

Nel caso di terreno dotato di attrito e coesione c l'espressione della pressione del terreno ad una generica profondità z vale

$$\sigma_a = \gamma z K_a - 2 c \sqrt{K_a}$$

3.1.2. Spinta in presenza di falda

Nel caso in cui a monte della parete sia presente la falda il diagramma delle pressioni risulta modificato a causa della sottospinta che l'acqua esercita sul terreno. Il peso di volume del terreno al di sopra della linea di falda non subisce variazioni. Viceversa, al di sotto del livello di falda va considerato il peso di volume efficace

$$\gamma' = \gamma_{\text{sat}} - \gamma_w$$

dove γ_{sat} è il peso di volume saturo del terreno (dipendente dall'indice dei pori) e γ_w è il peso specifico dell'acqua. Quindi il diagramma delle pressioni al di sotto della linea di falda ha una pendenza minore. Al diagramma così ottenuto va sommato il diagramma triangolare legato alla pressione esercitata dall'acqua.

3.1.3. Spinta a riposo

Si assume che sui piedritti agisca la spinta calcolata in condizioni di riposo.

Il coefficiente di spinta a riposo è espresso dalla relazione

$$K_0 = 1 - \sin \phi$$

dove ϕ rappresenta l'angolo d'attrito interno del terreno di rinfianco.

Quindi la pressione laterale, ad una generica profondità z e la spinta totale sulla parete di altezza H valgono

$$\sigma = \gamma z K_0 + p_v K_0$$

$$S = 1/2 \gamma H^2 K_0 + p_v K_0 H$$

dove p_v è la pressione verticale agente in corrispondenza della calotta.

3.1.4. Spinta in presenza di sisma

Per tener conto dell'incremento di spinta dovuta al sisma si fa riferimento al metodo di Mononobe-Okabe (cui fa riferimento la Normativa Italiana).

La Normativa Italiana suggerisce di tener conto di un incremento di spinta dovuto al sisma nel modo seguente.

Detta ε l'inclinazione del terrapieno rispetto all'orizzontale e β l'inclinazione della parete rispetto alla verticale, si calcola la spinta S' considerando un'inclinazione del terrapieno e della parte pari a

$$\varepsilon' = \varepsilon + \theta \quad \beta' = \beta + \theta$$

dove $\theta = \arctg(k_h/(1 \pm k_v))$ essendo k_h il coefficiente sismico orizzontale e k_v il coefficiente sismico verticale, definito in funzione di k_h .

In presenza di falda a monte, θ assume le seguenti espressioni:

Terreno a bassa permeabilità

$$\theta = \arctan\left(\frac{\gamma_{sat}}{\gamma_{sat} - \gamma_w} \frac{k_h}{1 \pm k_v}\right)$$

Terreno a permeabilità elevata

$$\theta = \arctan\left(\frac{\gamma}{\gamma_{sat} - \gamma_w} \frac{k_h}{1 \pm k_v}\right)$$

Detta S la spinta calcolata in condizioni statiche l'incremento di spinta da applicare è espresso da

$$\Delta S = AS' - S$$

dove il coefficiente A vale

$$A = \frac{\cos^2(\beta + \theta)}{\cos^2 \beta \cos \theta}$$

In presenza di falda a monte, nel coefficiente A si tiene conto dell'influenza dei pesi di volume nel calcolo di θ .

Adottando il metodo di Mononobe - Okabe per il calcolo della spinta, il coefficiente A viene posto pari a 1.

Tale incremento di spinta è applicato a metà altezza della parete di spinta nel caso di forma rettangolare del diagramma di incremento sismico, allo stesso punto di applicazione della spinta statica nel caso in cui la forma del diagramma di incremento sismico è uguale a quella del diagramma statico.

Oltre a questo incremento bisogna tener conto delle forze d'inerzia orizzontali e verticali che si destano per effetto del sisma. Tali forze vengono valutate come

$$F_{IH} = k_h W \quad F_{IV} = \pm k_v W$$

dove W è il peso del muro, del terreno soprastante la mensola di monte ed i relativi sovraccarichi e va applicata nel baricentro dei pesi.

Il metodo di Culmann tiene conto automaticamente dell'incremento di spinta. Basta inserire nell'equazione risolutiva la forza d'inerzia del cuneo di spinta. La superficie di rottura nel caso di sisma risulta meno inclinata della corrispondente superficie in assenza di sisma.

3.2. Verifica al carico limite

Il rapporto fra il carico limite in fondazione e la componente normale della risultante dei carichi trasmessi dal muro sul terreno di fondazione deve essere superiore a η_q . Cioè, detto Q_u , il carico limite ed R la risultante verticale dei carichi in fondazione, deve essere:

$$\frac{Q_u}{R} \geq \eta_q$$

Si adotta per il calcolo del carico limite in fondazione il metodo di MEYERHOF.

L'espressione del carico ultimo è data dalla relazione:

$$q_u = cN_c s_c d_c i_c + qN_q s_q d_q i_q + 0.5B\gamma N_\gamma s_\gamma d_\gamma i_\gamma$$

In questa espressione:

- c coesione del terreno in fondazione
- ϕ angolo di attrito del terreno in fondazione
- γ peso di volume del terreno in fondazione
- B larghezza della fondazione
- D profondità del piano di posa
- q pressione geostatica alla quota del piano di posa
- N fattori di capacità portante
- d fattori di profondità del piano di posa
- i fattori di inclinazione del carico

Fattori di capacità portante		$N_c = (N_q - 1) \cot \phi$	$N_q = e^{n \tan \phi} K_p$	$N_\gamma = (N_q - 1) \tan(1.4\phi)$
Fattori di forma	$\phi = 0$	$s_c = 1 + 0.2K_p \frac{B'}{L'}$	$s_q = 1$	$s_\gamma = 1$
	$\phi > 0$	$s_c = 1 + 0.2K_p \frac{B'}{L'}$	$s_q = 1 + 0.1K_p \frac{B'}{L'}$	$s_\gamma = 1 + 0.1K_p \frac{B'}{L'}$
Fattori di profondità	$\phi = 0$	$d_c = 1 + 0.2 \frac{D}{B} \sqrt{K_p}$	$d_q = 1$	$d_\gamma = 1$
	$\phi > 0$	$d_c = 1 + 0.2 \frac{D}{B} \sqrt{K_p}$	$d_q = 1 + 0.1 \frac{D}{B} \sqrt{K_p}$	$d_\gamma = 1 + 0.1 \frac{D}{B} \sqrt{K_p}$
Fattori di inclinazione del carico	$\phi = 0$	$i_c = \left(1 - \frac{\theta^2}{90^2}\right)^2$	$i_q = \left(1 - \frac{\theta^2}{90^2}\right)^2$	$i_\gamma = 0$
	$\phi > 0$	$i_c = \left(1 - \frac{\theta^2}{90^2}\right)^2$	$i_q = \left(1 - \frac{\theta^2}{90^2}\right)^2$	$i_\gamma = \left(1 - \frac{\theta^2}{\phi^2}\right)^2$

Indichiamo con K_p il coefficiente di spinta passiva espresso da:

$$K_p = \tan^2 \left(45^\circ + \frac{\phi}{2} \right)$$

3.3. Riduzione per eccentricità del carico

Nel caso in cui il carico al piano di posa della fondazione risulta eccentrico, Meyerhof propone di moltiplicare la capacità portante ultima per un fattore correttivo R_e

$R_e = 1.0 - 2.0 \frac{e}{B}$	per terreni coesivi
$R_e = 1.0 - \sqrt{\frac{e}{B}}$	per terreni incoerenti

con e eccentricità del carico e B la dimensione minore della fondazione.

3.4. Riduzione per effetto piastra

Per valori elevati di B (dimensione minore della fondazione), Bowles propone di utilizzare un fattore correttivo r_γ del solo termine sul peso di volume ($0.5 B \gamma N_\gamma$) quando B supera i 2 m.

$$r_\gamma = 1.0 - 0.25 \log \frac{B}{2.0}$$

Il termine sul peso di volume diventa:

$$0.5 B \gamma N_\gamma r_\gamma$$

3.5. Strategia di soluzione

A partire dal tipo di terreno, dalla geometria e dai sovraccarichi agenti il programma è in grado di conoscere tutti i carichi agenti sulla struttura per ogni combinazione di carico.

La struttura scatolare viene schematizzata come un telaio piano e viene risolta mediante il metodo degli elementi finiti (FEM). Più dettagliatamente il telaio viene discretizzato in una serie di elementi connessi fra di loro nei nodi.

Il terreno di rinfilanco e di fondazione viene invece schematizzato con una serie di elementi molle non reagenti a trazione (modello di Winkler). L'area della singola molla è direttamente proporzionale alla costante di Winkler del terreno e all'area di influenza della molla stessa.

A partire dalla matrice di rigidezza del singolo elemento, K_e , si assembla la matrice di rigidezza di tutta la struttura K . Tutti i carichi agenti sulla struttura vengono trasformati in carichi nodali (reazioni di incastro perfetto) ed inseriti nel vettore dei carichi nodali p .

Indicando con u il vettore degli spostamenti nodali (incogniti), la relazione risolutiva può essere scritta nella forma

$$K u = p$$

Da questa equazione matriciale si ricavano gli spostamenti incogniti u

$$u = K^{-1} p$$

Noti gli spostamenti nodali è possibile risalire alle sollecitazioni nei vari elementi.

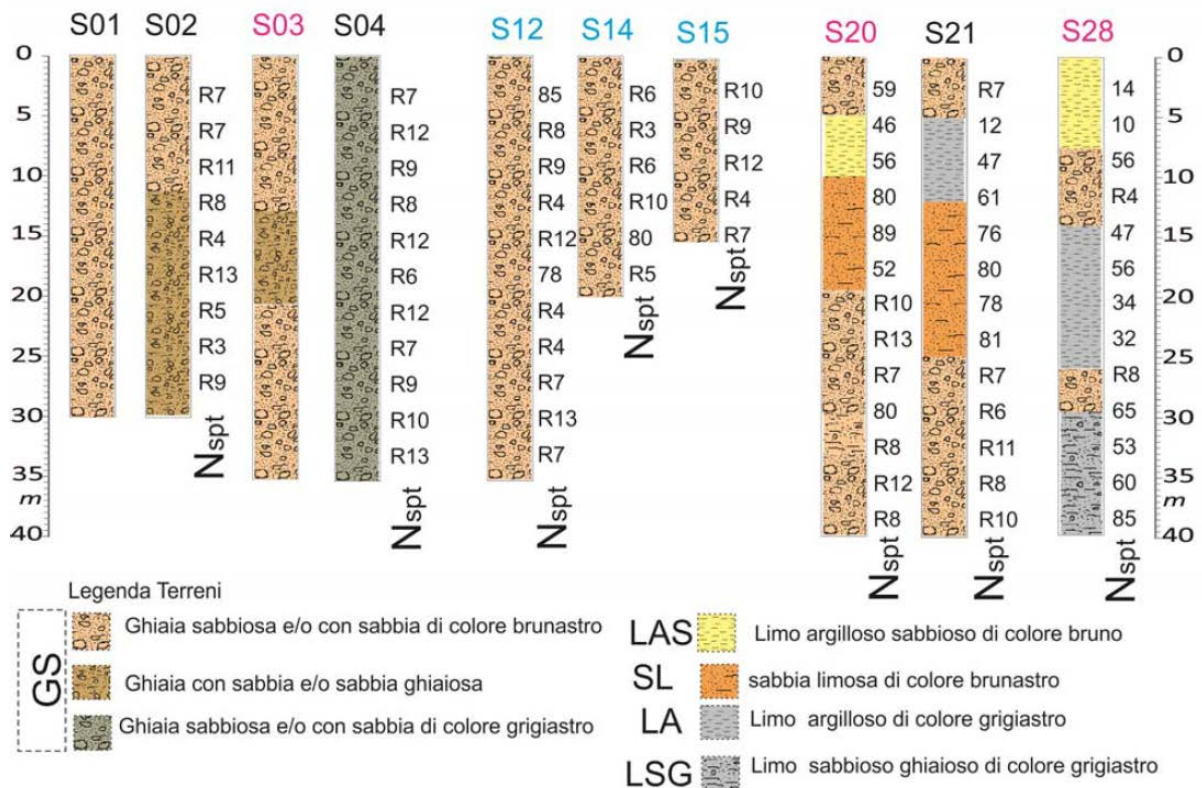
La soluzione del sistema viene fatta per ogni combinazione di carico agente sullo scatolare. Il successivo calcolo delle armature nei vari elementi viene condotto tenendo conto delle condizioni più gravose che si possono verificare nelle sezioni fra tutte le combinazioni di carico.

4. CARATTERIZZAZIONE GEOTECNICA

Nei paragrafi seguenti si riporta la caratterizzazione geotecnica per le opere in progetto

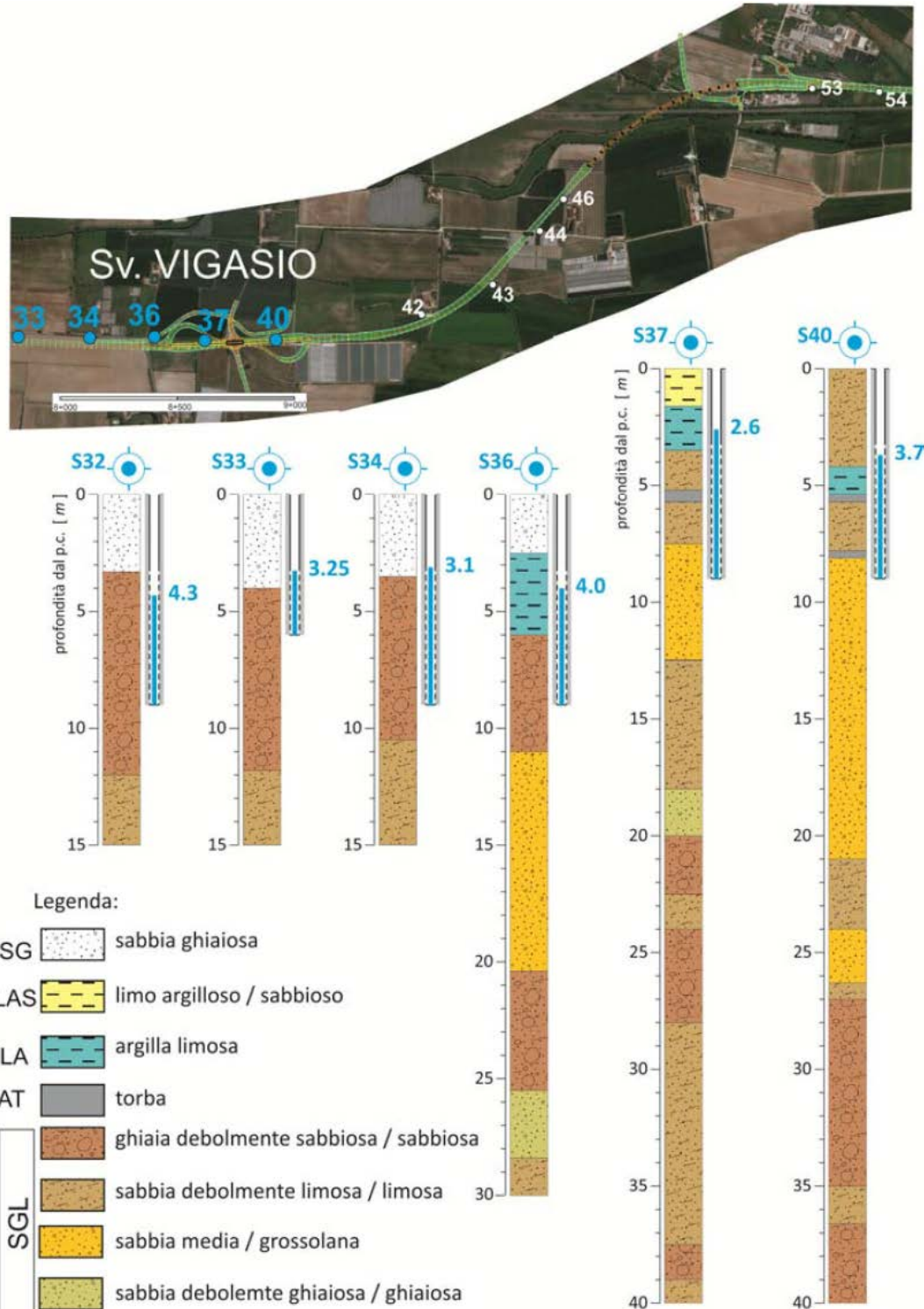
4.1. Unità geotecniche

Per quanto concerne l'identificazione stratigrafica delle verticali indagate si può distinguere un primo settore (S01 ÷ S15) nel quale vi è una prevalenza di materiale ghiaioso nella parte superficiale sino a circa 10.0 – 12.0 m di profondità, alla quale segue un materiale assimilabile ad una sabbia con ghiaia debolmente limosa o limosa.



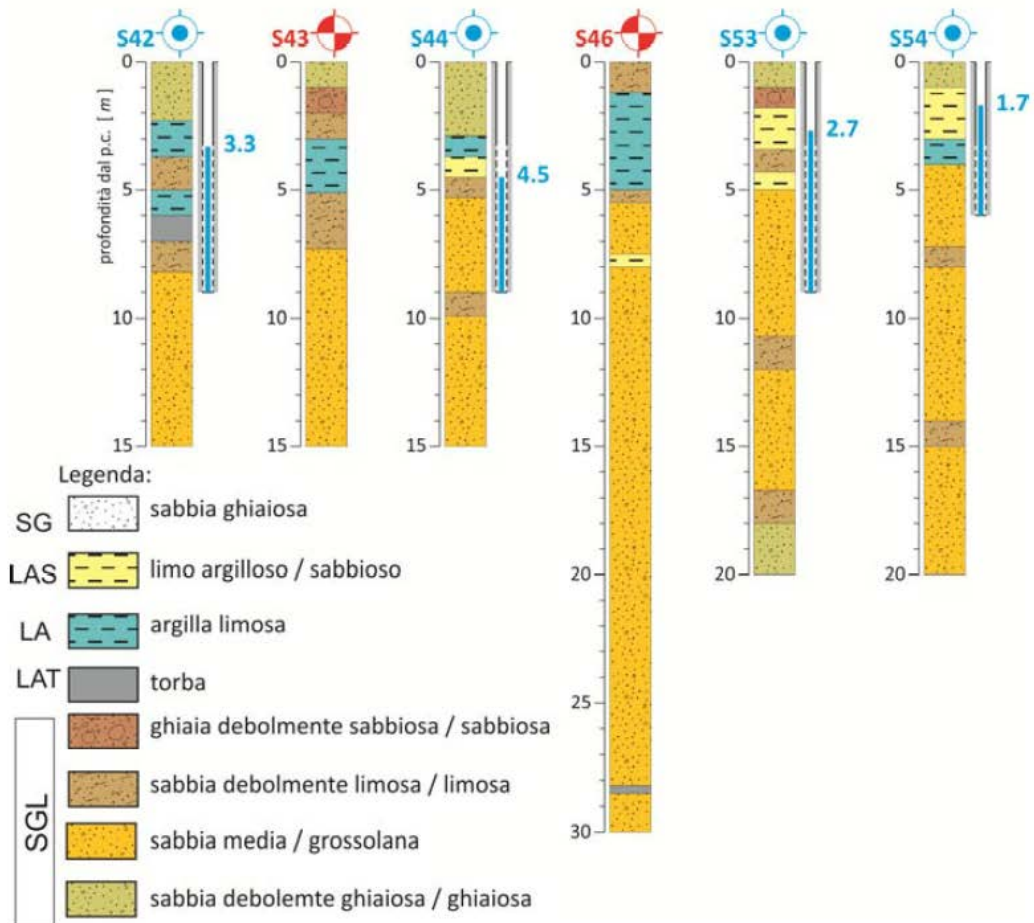
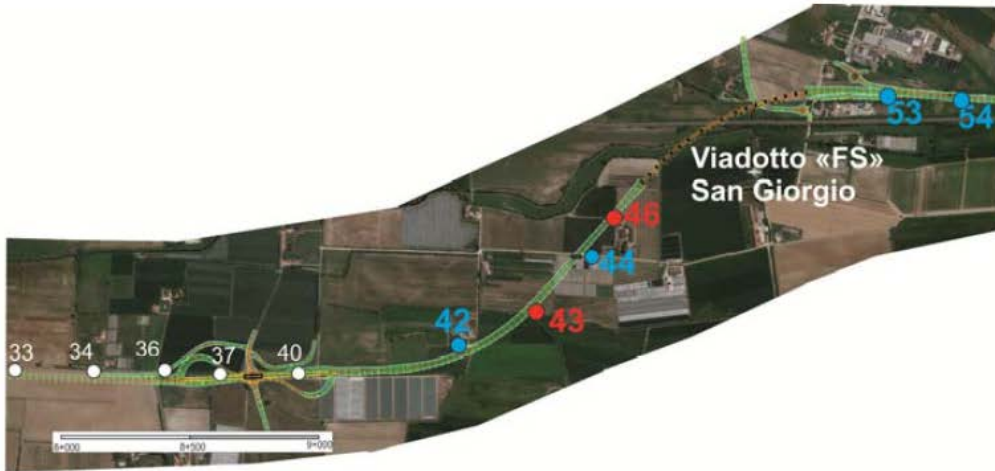
mentre nella zona (S20 ÷ S28) nella parte superficiale si incominciano ad essere presenti passaggi di materiale coesivo interposto al materiale ghiaioso e sabbioso limoso in profondità.

Con il sondaggio S36, posto nel secondo tratto del tracciato, si assiste alla comparsa nello strato superficiale (sino ad una profondità massima di circa 7.0 m) identificabile come limo argilloso / sabbioso o argilla limosa. Si va perdendo la componente ghiaiosa dei materiali, che comunque conservano la loro natura di grana grossa.



Tale componente (ghiaiosa) ricompare nei sondaggi S36 ÷ S40 ad una profondità maggiore di 20.0 m. In tale zona del Tratto 2, si mette in evidenza la presenza di livelli torbosi nella parte superficiale dei sondaggi S37, S40 ed S42 e in

profondità, al di sotto dei 20.0 m, nei sondaggi S46, S47, S48 e S50.



5. SISMICITA'

L'azione sismica sulle costruzioni è valutata a partire da una "pericolosità sismica di base", in condizioni ideali di sito di riferimento rigido con superficie topografica orizzontale.

La tabella sottostante riporta i dati sismici utilizzati nel calcolo.

Comune	Buttapietra
Provincia	Verona
Regione	Veneto
Latitudine	45.343778
Longitudine	11.002204
Indice punti di interpolazione	12952 - 12951 - 13173 - 13174
Vita nominale	50 anni
Classe d'uso	IV
Tipo costruzione	Normali affollamenti
Vita di riferimento	100 anni

	Simbolo	U.M.		SLU	SLE
Accelerazione al suolo	a_g	[m/s ²]		1.769	0.685
Accelerazione al suolo	a_g/g	[%]		0.180	0.070
Massimo fattore amplificazione spettro orizzontale	F0			2.473	2.512
Periodo inizio tratto spettro a velocità costante	T_c^*			0.280	0.265
Tipo di sottosuolo - Coefficiente stratigrafico	Ss		B	1.200	1.200
Categoria topografica - Coefficiente amplificazione topografica	St		T1	1.000	

Stato limite	Coeff. di riduzione β_m	kh [%]	kv [%]
Ultimo	0.380	8.221	4.110
Ultimo - Ribaltamento	0.570	12.331	6.165
Esercizio	0.470	3.940	1.970

Forma diagramma incremento sismico **Stessa forma del diagramma statico.**

6. IMPOSTAZIONI DI PROGETTO

Verifica materiali:

Stato Limite Ultimo

Coefficiente di sicurezza calcestruzzo γ_c	1.50
Fattore riduzione da resistenza cubica a cilindrica	0.83
Fattore di riduzione per carichi di lungo periodo	0.85
Coefficiente di sicurezza acciaio	1.15
Coefficiente di sicurezza per la sezione	1.00

Verifica Taglio - Metodo dell'inclinazione variabile del traliccio

$$V_{Rd} = [0.18 \cdot k \cdot (100.0 \cdot \rho_l \cdot f_{ck})^{1/3} / \gamma_c + 0.15 \cdot \sigma_{cp}] \cdot b_w \cdot d > (v_{min} + 0.15 \cdot \sigma_{cp}) \cdot b_w \cdot d$$

$$V_{Rsd} = 0.9 \cdot d \cdot A_{sw} / s \cdot f_{yd} \cdot (\text{ctg} \alpha + \text{ctg} \theta) \cdot \sin \alpha$$

$$V_{Rcd} = 0.9 \cdot d \cdot b_w \cdot \alpha_c \cdot f_{cd}' \cdot (\text{ctg}(\theta) + \text{ctg}(\alpha)) / (1.0 + \text{ctg} \theta^2)$$

con:

d	altezza utile sezione [mm]
b _w	larghezza minima sezione [mm]
σ _{cp}	tensione media di compressione [N/mm ²]
ρ _l	rapporto geometrico di armatura
A _{sw}	area armatura trasversale [mm ²]
s	interasse tra due armature trasversali consecutive [mm]
α _c	coefficiente maggiorativo, funzione di f _{cd} e σ _{cp}

$$f_{cd}' = 0.5 \cdot f_{cd}$$

$$k = 1 + (200/d)^{1/2}$$

$$v_{min} = 0.035 \cdot k^{3/2} \cdot f_{ck}^{1/2}$$

Stato Limite di Esercizio

Criteri di scelta per verifiche tensioni di esercizio:

Ambiente molto aggressivo

Limite tensioni di compressione nel calcestruzzo (comb. rare) 0.60 f_{ck}

Limite tensioni di compressione nel calcestruzzo (comb. quasi perm.) 0.45 f_{ck}

Limite tensioni di trazione nell'acciaio (comb. rare) 0.80 f_{yk}

Criteri verifiche a fessurazione:

Armatura poco sensibile

Apertura limite fessure espresse in [mm]

Apertura limite fessure w₁=0.20 w₂=0.30 w₃=0.40

Metodo di calcolo aperture delle fessure:

- NTC 2018 - C4.1.2.2.4.5

Resistenza a trazione per **Flessione**

Verifiche secondo :

Norme Tecniche 2018 - Approccio 2

Copriferro sezioni 5.00 [cm]

7. DATI DI INPUT

Geometria scatolare

Descrizione: Scatolare tipo vasca

Altezza esterna	7.80	[m]
Larghezza esterna	13.00	[m]
Lunghezza mensola di fondazione sinistra	1.00	[m]
Lunghezza mensola di fondazione destra	1.00	[m]
Spessore piedritto sinistro	1.00	[m]
Spessore piedritto destro	1.00	[m]
Spessore fondazione	1.00	[m]

Caratteristiche strati terreno

Strato di rinfianco

Descrizione	Ghiaia sabbiosa	
Peso di volume	1900.00	[kg/mc]
Peso di volume saturo	2000.00	[kg/mc]
Angolo di attrito	35.00	[°]
Angolo di attrito terreno struttura	23.33	[°]
Coesione	0.00	[kg/cm ²]
Costante di Winkler	0.48	[kg/cm ² /cm]

Strato di base

Descrizione	Sabbia limosa	
Peso di volume	1900.00	[kg/mc]
Peso di volume saturo	2000.00	[kg/mc]
Angolo di attrito	29.00	[°]
Angolo di attrito terreno struttura	19.33	[°]
Coesione	0.00	[kg/cm ²]
Costante di Winkler	0.09	[kg/cm ² /cm]
Tensione limite	3.00	[kg/cm ²]

Falda

Quota falda (rispetto al piano di posa) 7.80 [m]

Caratteristiche materiali utilizzati

Materiali calcestruzzo

R_{ck} calcestruzzo	407.88	[kg/cm ²]
Peso specifico calcestruzzo	2500.00	[kg/m ³]
Modulo elastico E	338021.17	[kg/cm ²]
Tensione di snervamento acciaio	4588.65	[kg/cm ²]
Coeff. omogeneizzazione cls tesoro/compresso (n')	0.50	
Coeff. omogeneizzazione acciaio/cls (n)	15.00	
Coefficiente dilatazione termica	0.0000120	

Condizioni di carico

Convenzioni adottate

Origine in corrispondenza dello spigolo inferiore sinistro della struttura
Carichi verticali positivi se diretti verso il basso
Carichi orizzontali positivi se diretti verso destra
Coppie concentrate positive se antiorarie
Ascisse X (espresse in m) positive verso destra
Ordinate Y (espresse in m) positive verso l'alto
Carichi concentrati espressi in kg
Coppie concentrate espressi in kgm
Carichi distribuiti espressi in kg/m

Simbologia adottata e unità di misura

Forze concentrate

X ascissa del punto di applicazione dei carichi verticali concentrati
Y ordinata del punto di applicazione dei carichi orizzontali concentrati
 F_y componente Y del carico concentrato
 F_x componente X del carico concentrato
M momento

Forze distribuite

X_i, X_f ascisse del punto iniziale e finale per carichi distribuiti verticali
 Y_i, Y_f ordinate del punto iniziale e finale per carichi distribuiti orizzontali
 V_{ni} componente normale del carico distribuito nel punto iniziale
 V_{nf} componente normale del carico distribuito nel punto finale

V_{ti}	componente tangenziale del carico distribuito nel punto iniziale
V_{tf}	componente tangenziale del carico distribuito nel punto finale
D_{te}	variazione termica lembo esterno espressa in gradi centigradi
D_{ti}	variazione termica lembo interno espressa in gradi centigradi

Descrizione combinazioni di carico

Simbologia adottata

γ	Coefficiente di partecipazione della condizione
Ψ	Coefficiente di combinazione della condizione
C	Coefficiente totale di partecipazione della condizione

Norme Tecniche 2018

Simbologia adottata

γ_{G1sfav}	Coefficiente parziale sfavorevole sulle azioni permanenti
γ_{G1fav}	Coefficiente parziale favorevole sulle azioni permanenti
γ_{G2sfav}	Coefficiente parziale sfavorevole sulle azioni permanenti non strutturali
γ_{G2fav}	Coefficiente parziale favorevole sulle azioni permanenti non strutturali
γ_Q	Coefficiente parziale sulle azioni variabili
$\gamma_{\tan\phi'}$	Coefficiente parziale di riduzione dell'angolo di attrito drenato
$\gamma_{c'}$	Coefficiente parziale di riduzione della coesione drenata
γ_{cu}	Coefficiente parziale di riduzione della coesione non drenata
γ_{qu}	Coefficiente parziale di riduzione del carico ultimo

Coefficienti di partecipazione combinazioni statiche

Coefficienti parziali per le azioni o per l'effetto delle azioni:

<i>Carichi</i>	<i>Effetto</i>		<i>A1</i>	<i>A2</i>
Permanenti	Favorevole	γ_{G1fav}	1.00	1.00
Permanenti	Sfavorevole	γ_{G1sfav}	1.30	1.00
Permanenti non strutturali	Favorevole	γ_{G2fav}	0.80	0.80
Permanenti non strutturali	Sfavorevole	γ_{G2sfav}	1.50	1.30
Variabili	Favorevole	γ_{Qifav}	0.00	0.00
Variabili	Sfavorevole	γ_{Qisfav}	1.50	1.30
Variabili da traffico	Favorevole	γ_{Qfav}	0.00	0.00
Variabili da traffico	Sfavorevole	γ_{Qsfav}	1.35	1.15
Termici	Favorevole	γ_{efav}	0.00	0.00
Termici	Sfavorevole	γ_{esfav}	1.20	1.20

Coefficienti parziali per i parametri geotecnici del terreno:

<i>Parametri</i>		<i>M1</i>	<i>M2</i>
Tangente dell'angolo di attrito	$\gamma_{\tan\phi'}$	1.00	1.25
Coesione efficace	$\gamma_{c'}$	1.00	1.25
Resistenza non drenata	γ_{cu}	1.00	1.40
Resistenza a compressione uniassiale	γ_{qu}	1.00	1.60
Peso dell'unità di volume	γ_{γ}	1.00	1.00

Coefficienti di partecipazione combinazioni sismiche

Coefficienti parziali per le azioni o per l'effetto delle azioni:

<i>Carichi</i>	<i>Effetto</i>		<i>A1</i>	<i>A2</i>
Permanenti	Favorevole	γ_{G1fav}	1.00	1.00
Permanenti	Sfavorevole	γ_{G1sfav}	1.00	1.00
Permanenti	Favorevole	γ_{G2fav}	0.00	0.00
Permanenti	Sfavorevole	γ_{G2sfav}	1.00	1.00
Variabili	Favorevole	γ_{Q1fav}	0.00	0.00
Variabili	Sfavorevole	γ_{Q1sfav}	1.00	1.00
Variabili da traffico	Favorevole	γ_{Qfav}	0.00	0.00
Variabili da traffico	Sfavorevole	γ_{Qsfav}	1.00	1.00
Termici	Favorevole	$\gamma_{\epsilon fav}$	0.00	0.00
Termici	Sfavorevole	$\gamma_{\epsilon sfav}$	1.00	1.00

Coefficienti parziali per i parametri geotecnici del terreno:

<i>Parametri</i>		<i>M1</i>	<i>M2</i>
Tangente dell'angolo di attrito	$\gamma_{\tan\phi'}$	1.00	1.00
Coesione efficace	$\gamma_{c'}$	1.00	1.00
Resistenza non drenata	γ_{cu}	1.00	1.00
Resistenza a compressione uniassiale	γ_{qu}	1.00	1.00
Peso dell'unità di volume	γ_{γ}	1.00	1.00

Combinazione n° 1 SLU (Approccio 2)

	<i>Effetto</i>	γ	Ψ	<i>C</i>
Peso Proprio	Sfavorevole	1.30	1.00	1.30
Spinta terreno sinistra	Sfavorevole	1.30	1.00	1.30
Spinta terreno destra	Sfavorevole	1.30	1.00	1.30
Carico Riempimento Sottofondo	Sfavorevole	1.50	1.00	1.50
Carico Pacchetto Stradale	Sfavorevole	1.50	1.00	1.50

Combinazione n° 2 SLU (Approccio 2)

	Effetto	γ	Ψ	C
Peso Proprio	Sfavorevole	1.30	1.00	1.30
Spinta terreno sinistra	Sfavorevole	1.30	1.00	1.30
Spinta terreno destra	Sfavorevole	1.30	1.00	1.30
Carico Riempimento Sottofondo	Sfavorevole	1.50	1.00	1.50
Carico Pacchetto Stradale	Sfavorevole	1.50	1.00	1.50
Spinta falda	Sfavorevole	1.30	1.00	1.30
Carico Veicolare	Sfavorevole	1.35	0.75	1.01

Combinazione n° 3 SLU (Approccio 2)

	Effetto	γ	Ψ	C
Peso Proprio	Sfavorevole	1.30	1.00	1.30
Spinta terreno sinistra	Sfavorevole	1.30	1.00	1.30
Spinta terreno destra	Sfavorevole	1.30	1.00	1.30
Carico Riempimento Sottofondo	Sfavorevole	1.50	1.00	1.50
Carico Pacchetto Stradale	Sfavorevole	1.50	1.00	1.50
Spinta falda	Sfavorevole	1.30	1.00	1.30
Carico Veicolare	Sfavorevole	1.35	1.00	1.35

Combinazione n° 4 SLU (Approccio 2) - Sisma Vert. positivo

	Effetto	γ	Ψ	C
Peso Proprio	Sfavorevole	1.00	1.00	1.00
Spinta terreno sinistra	Sfavorevole	1.00	1.00	1.00
Spinta terreno destra	Sfavorevole	1.00	1.00	1.00
Carico Riempimento Sottofondo	Sfavorevole	1.00	1.00	1.00
Carico Pacchetto Stradale	Sfavorevole	1.00	1.00	1.00
Sisma da sinistra	Sfavorevole	1.00	1.00	1.00

Combinazione n° 5 SLU (Approccio 2) - Sisma Vert. negativo

	Effetto	γ	Ψ	C
Peso Proprio	Sfavorevole	1.00	1.00	1.00
Spinta terreno sinistra	Sfavorevole	1.00	1.00	1.00
Spinta terreno destra	Sfavorevole	1.00	1.00	1.00
Carico Riempimento Sottofondo	Sfavorevole	1.00	1.00	1.00
Carico Pacchetto Stradale	Sfavorevole	1.00	1.00	1.00
Sisma da sinistra	Sfavorevole	1.00	1.00	1.00

Combinazione n° 6 SLU (Approccio 2) - Sisma Vert. positivo

	Effetto	γ	Ψ	C
Peso Proprio	Sfavorevole	1.00	1.00	1.00
Spinta terreno sinistra	Sfavorevole	1.00	1.00	1.00
Spinta terreno destra	Sfavorevole	1.00	1.00	1.00
Carico Riempimento Sottofondo	Sfavorevole	1.00	1.00	1.00
Carico Pacchetto Stradale	Sfavorevole	1.00	1.00	1.00
Spinta falda	Sfavorevole	1.00	1.00	1.00
Sisma da sinistra	Sfavorevole	1.00	1.00	1.00

Combinazione n° 7 SLU (Approccio 2) - Sisma Vert. negativo

	Effetto	γ	Ψ	C
Peso Proprio	Sfavorevole	1.00	1.00	1.00
Spinta terreno sinistra	Sfavorevole	1.00	1.00	1.00
Spinta terreno destra	Sfavorevole	1.00	1.00	1.00
Carico Riempimento Sottofondo	Sfavorevole	1.00	1.00	1.00
Carico Pacchetto Stradale	Sfavorevole	1.00	1.00	1.00
Spinta falda	Sfavorevole	1.00	1.00	1.00
Sisma da sinistra	Sfavorevole	1.00	1.00	1.00

Combinazione n° 8 SLU (Approccio 2) - Sisma Vert. positivo

	Effetto	γ	Ψ	C
Peso Proprio	Sfavorevole	1.00	1.00	1.00
Spinta terreno sinistra	Sfavorevole	1.00	1.00	1.00
Spinta terreno destra	Sfavorevole	1.00	1.00	1.00
Carico Riempimento Sottofondo	Sfavorevole	1.00	1.00	1.00
Carico Pacchetto Stradale	Sfavorevole	1.00	1.00	1.00
Sisma da destra	Sfavorevole	1.00	1.00	1.00

Combinazione n° 9 SLU (Approccio 2) - Sisma Vert. negativo

	Effetto	γ	Ψ	C
Peso Proprio	Sfavorevole	1.00	1.00	1.00
Spinta terreno sinistra	Sfavorevole	1.00	1.00	1.00
Spinta terreno destra	Sfavorevole	1.00	1.00	1.00
Carico Riempimento Sottofondo	Sfavorevole	1.00	1.00	1.00
Carico Pacchetto Stradale	Sfavorevole	1.00	1.00	1.00
Sisma da destra	Sfavorevole	1.00	1.00	1.00

Combinazione n° 10 SLU (Approccio 2) - Sisma Vert. positivo

	Effetto	γ	Ψ	C
Peso Proprio	Sfavorevole	1.00	1.00	1.00
Spinta terreno sinistra	Sfavorevole	1.00	1.00	1.00
Spinta terreno destra	Sfavorevole	1.00	1.00	1.00
Carico Riempimento Sottofondo	Sfavorevole	1.00	1.00	1.00
Carico Pacchetto Stradale	Sfavorevole	1.00	1.00	1.00
Spinta falda	Sfavorevole	1.00	1.00	1.00
Sisma da destra	Sfavorevole	1.00	1.00	1.00

Combinazione n° 11 SLU (Approccio 2) - Sisma Vert. negativo

	Effetto	γ	Ψ	C
Peso Proprio	Sfavorevole	1.00	1.00	1.00
Spinta terreno sinistra	Sfavorevole	1.00	1.00	1.00
Spinta terreno destra	Sfavorevole	1.00	1.00	1.00
Carico Riempimento Sottofondo	Sfavorevole	1.00	1.00	1.00
Carico Pacchetto Stradale	Sfavorevole	1.00	1.00	1.00
Spinta falda	Sfavorevole	1.00	1.00	1.00
Sisma da destra	Sfavorevole	1.00	1.00	1.00

Combinazione n° 12 SLE (Rara)

	Effetto	γ	Ψ	C
Peso Proprio	Sfavorevole	1.00	1.00	1.00
Spinta terreno sinistra	Sfavorevole	1.00	1.00	1.00
Spinta terreno destra	Sfavorevole	1.00	1.00	1.00
Carico Riempimento Sottofondo	Sfavorevole	1.00	1.00	1.00
Carico Pacchetto Stradale	Sfavorevole	1.00	1.00	1.00
Spinta falda	Sfavorevole	1.00	1.00	1.00
Carico Veicolare	Sfavorevole	1.00	0.75	0.75

Combinazione n° 13 SLE (Frequente)

	Effetto	γ	Ψ	C
Peso Proprio	Sfavorevole	1.00	1.00	1.00
Spinta terreno sinistra	Sfavorevole	1.00	1.00	1.00
Spinta terreno destra	Sfavorevole	1.00	1.00	1.00
Carico Riempimento Sottofondo	Sfavorevole	1.00	1.00	1.00
Carico Pacchetto Stradale	Sfavorevole	1.00	1.00	1.00
Spinta falda	Sfavorevole	1.00	1.00	1.00

Combinazione n° 14 SLE (Quasi Permanente)

	Effetto	γ	Ψ	C
Peso Proprio	Sfavorevole	1.00	1.00	1.00
Spinta terreno sinistra	Sfavorevole	1.00	1.00	1.00
Spinta terreno destra	Sfavorevole	1.00	1.00	1.00
Carico Riempimento Sottofondo	Sfavorevole	1.00	1.00	1.00
Carico Pacchetto Stradale	Sfavorevole	1.00	1.00	1.00
Spinta falda	Sfavorevole	1.00	1.00	1.00

Combinazione n° 15 SLE (Rara)

	Effetto	γ	Ψ	C
Peso Proprio	Sfavorevole	1.00	1.00	1.00
Spinta terreno sinistra	Sfavorevole	1.00	1.00	1.00
Spinta terreno destra	Sfavorevole	1.00	1.00	1.00
Carico Riempimento Sottofondo	Sfavorevole	1.00	1.00	1.00
Carico Pacchetto Stradale	Sfavorevole	1.00	1.00	1.00
Spinta falda	Sfavorevole	1.00	1.00	1.00
Carico Veicolare	Sfavorevole	1.00	1.00	1.00

Combinazione n° 16 SLE (Frequente)

	Effetto	γ	Ψ	C
Peso Proprio	Sfavorevole	1.00	1.00	1.00
Spinta terreno sinistra	Sfavorevole	1.00	1.00	1.00
Spinta terreno destra	Sfavorevole	1.00	1.00	1.00
Carico Riempimento Sottofondo	Sfavorevole	1.00	1.00	1.00
Carico Pacchetto Stradale	Sfavorevole	1.00	1.00	1.00
Spinta falda	Sfavorevole	1.00	1.00	1.00
Carico Veicolare	Sfavorevole	1.00	0.75	0.75

Combinazione n° 17 SLE (Rara) - Sisma Vert. positivo

	Effetto	γ	Ψ	C
Peso Proprio	Sfavorevole	1.00	1.00	1.00
Spinta terreno sinistra	Sfavorevole	1.00	1.00	1.00
Spinta terreno destra	Sfavorevole	1.00	1.00	1.00
Carico Riempimento Sottofondo	Sfavorevole	1.00	1.00	1.00
Carico Pacchetto Stradale	Sfavorevole	1.00	1.00	1.00
Spinta falda	Sfavorevole	1.00	1.00	1.00
Sisma da sinistra	Sfavorevole	1.00	1.00	1.00

Combinazione n° 18 SLE (Rara) - Sisma Vert. negativo

	Effetto	γ	Ψ	C
Peso Proprio	Sfavorevole	1.00	1.00	1.00
Spinta terreno sinistra	Sfavorevole	1.00	1.00	1.00
Spinta terreno destra	Sfavorevole	1.00	1.00	1.00
Carico Riempimento Sottofondo	Sfavorevole	1.00	1.00	1.00
Carico Pacchetto Stradale	Sfavorevole	1.00	1.00	1.00
Spinta falda	Sfavorevole	1.00	1.00	1.00
Sisma da sinistra	Sfavorevole	1.00	1.00	1.00

Combinazione n° 19 SLE (Rara) - Sisma Vert. positivo

	Effetto	γ	Ψ	C
Peso Proprio	Sfavorevole	1.00	1.00	1.00
Spinta terreno sinistra	Sfavorevole	1.00	1.00	1.00
Spinta terreno destra	Sfavorevole	1.00	1.00	1.00
Carico Riempimento Sottofondo	Sfavorevole	1.00	1.00	1.00
Carico Pacchetto Stradale	Sfavorevole	1.00	1.00	1.00
Spinta falda	Sfavorevole	1.00	1.00	1.00
Sisma da destra	Sfavorevole	1.00	1.00	1.00

Combinazione n° 20 SLE (Rara) - Sisma Vert. negativo

	Effetto	γ	Ψ	C
Peso Proprio	Sfavorevole	1.00	1.00	1.00
Spinta terreno sinistra	Sfavorevole	1.00	1.00	1.00
Spinta terreno destra	Sfavorevole	1.00	1.00	1.00
Carico Riempimento Sottofondo	Sfavorevole	1.00	1.00	1.00
Carico Pacchetto Stradale	Sfavorevole	1.00	1.00	1.00
Spinta falda	Sfavorevole	1.00	1.00	1.00
Sisma da destra	Sfavorevole	1.00	1.00	1.00

Combinazione n° 21 SLE (Frequente) - Sisma Vert. positivo

	Effetto	γ	Ψ	C
Peso Proprio	Sfavorevole	1.00	1.00	1.00
Spinta terreno sinistra	Sfavorevole	1.00	1.00	1.00
Spinta terreno destra	Sfavorevole	1.00	1.00	1.00
Carico Riempimento Sottofondo	Sfavorevole	1.00	1.00	1.00
Carico Pacchetto Stradale	Sfavorevole	1.00	1.00	1.00
Spinta falda	Sfavorevole	1.00	1.00	1.00
Sisma da sinistra	Sfavorevole	1.00	1.00	1.00

Combinazione n° 22 SLE (Frequente) - Sisma Vert. negativo

	Effetto	γ	Ψ	C
Peso Proprio	Sfavorevole	1.00	1.00	1.00
Spinta terreno sinistra	Sfavorevole	1.00	1.00	1.00
Spinta terreno destra	Sfavorevole	1.00	1.00	1.00
Carico Riempimento Sottofondo	Sfavorevole	1.00	1.00	1.00
Carico Pacchetto Stradale	Sfavorevole	1.00	1.00	1.00
Spinta falda	Sfavorevole	1.00	1.00	1.00
Sisma da sinistra	Sfavorevole	1.00	1.00	1.00

Combinazione n° 23 SLE (Frequente) - Sisma Vert. positivo

	Effetto	γ	Ψ	C
Peso Proprio	Sfavorevole	1.00	1.00	1.00
Spinta terreno sinistra	Sfavorevole	1.00	1.00	1.00
Spinta terreno destra	Sfavorevole	1.00	1.00	1.00
Carico Riempimento Sottofondo	Sfavorevole	1.00	1.00	1.00
Carico Pacchetto Stradale	Sfavorevole	1.00	1.00	1.00
Spinta falda	Sfavorevole	1.00	1.00	1.00
Sisma da destra	Sfavorevole	1.00	1.00	1.00

Combinazione n° 24 SLE (Frequente) - Sisma Vert. negativo

	Effetto	γ	Ψ	C
Peso Proprio	Sfavorevole	1.00	1.00	1.00
Spinta terreno sinistra	Sfavorevole	1.00	1.00	1.00
Spinta terreno destra	Sfavorevole	1.00	1.00	1.00
Carico Riempimento Sottofondo	Sfavorevole	1.00	1.00	1.00
Carico Pacchetto Stradale	Sfavorevole	1.00	1.00	1.00
Spinta falda	Sfavorevole	1.00	1.00	1.00
Sisma da destra	Sfavorevole	1.00	1.00	1.00

Combinazione n° 25 SLE (Quasi Permanente) - Sisma Vert. positivo

	Effetto	γ	Ψ	C
Peso Proprio	Sfavorevole	1.00	1.00	1.00
Spinta terreno sinistra	Sfavorevole	1.00	1.00	1.00
Spinta terreno destra	Sfavorevole	1.00	1.00	1.00
Carico Riempimento Sottofondo	Sfavorevole	1.00	1.00	1.00
Carico Pacchetto Stradale	Sfavorevole	1.00	1.00	1.00
Spinta falda	Sfavorevole	1.00	1.00	1.00
Sisma da sinistra	Sfavorevole	1.00	1.00	1.00

Combinazione n° 26 SLE (Quasi Permanente) - Sisma Vert. negativo

	Effetto	γ	Ψ	C
Peso Proprio	Sfavorevole	1.00	1.00	1.00
Spinta terreno sinistra	Sfavorevole	1.00	1.00	1.00
Spinta terreno destra	Sfavorevole	1.00	1.00	1.00
Carico Riempimento Sottofondo	Sfavorevole	1.00	1.00	1.00
Carico Pacchetto Stradale	Sfavorevole	1.00	1.00	1.00
Spinta falda	Sfavorevole	1.00	1.00	1.00
Sisma da sinistra	Sfavorevole	1.00	1.00	1.00

Combinazione n° 27 SLE (Quasi Permanente) - Sisma Vert. positivo

	Effetto	γ	Ψ	C
Peso Proprio	Sfavorevole	1.00	1.00	1.00
Spinta terreno sinistra	Sfavorevole	1.00	1.00	1.00
Spinta terreno destra	Sfavorevole	1.00	1.00	1.00
Carico Riempimento Sottofondo	Sfavorevole	1.00	1.00	1.00
Carico Pacchetto Stradale	Sfavorevole	1.00	1.00	1.00
Spinta falda	Sfavorevole	1.00	1.00	1.00
Sisma da destra	Sfavorevole	1.00	1.00	1.00

Combinazione n° 28 SLE (Quasi Permanente) - Sisma Vert. negativo

	Effetto	γ	Ψ	C
Peso Proprio	Sfavorevole	1.00	1.00	1.00
Spinta terreno sinistra	Sfavorevole	1.00	1.00	1.00
Spinta terreno destra	Sfavorevole	1.00	1.00	1.00
Carico Riempimento Sottofondo	Sfavorevole	1.00	1.00	1.00
Carico Pacchetto Stradale	Sfavorevole	1.00	1.00	1.00
Spinta falda	Sfavorevole	1.00	1.00	1.00
Sisma da destra	Sfavorevole	1.00	1.00	1.00

Analisi della spinta e delle verifiche

Simbologia adottata ed unità di misura

Origine in corrispondenza dello spigolo inferiore sinistro della struttura

Le forze orizzontali sono considerate positive se agenti verso destra

Le forze verticali sono considerate positive se agenti verso il basso

X ascisse (espresse in m) positive verso destra

Y ordinate (espresse in m) positive verso l'alto

M momento espresso in kgm

V taglio espresso in kg

SN sforzo normale espresso in kg

ux spostamento direzione X espresso in cm

u_y spostamento direzione Y espresso in cm
 σ_t pressione sul terreno espressa in kg/cmq

Tipo di analisi

Pressione in calotta
I carichi applicati sul terreno sono stati diffusi secondo **da teoria**
Metodo di calcolo della portanza

Pressione geostatica

Meyerhof

Spinta sui piedritti

Attiva [combinazione 1]
Attiva [combinazione 2]
Attiva [combinazione 3]
Attiva [combinazione 4]
Attiva [combinazione 5]
Attiva [combinazione 6]
Attiva [combinazione 7]
Attiva [combinazione 8]
Attiva [combinazione 9]
Attiva [combinazione 10]
Attiva [combinazione 11]
Attiva [combinazione 12]
Attiva [combinazione 13]
Attiva [combinazione 14]
Attiva [combinazione 15]
Attiva [combinazione 16]
Attiva [combinazione 17]
Attiva [combinazione 18]
Attiva [combinazione 19]
Attiva [combinazione 20]
Attiva [combinazione 21]
Attiva [combinazione 22]
Attiva [combinazione 23]
Attiva [combinazione 24]
Attiva [combinazione 25]
Attiva [combinazione 26]
Attiva [combinazione 27]
Attiva [combinazione 28]

Sisma

Coefficienti di spinta

N° combinazione	Statico	Sismico
1	0.244	0.000
2	0.244	0.000
3	0.244	0.000
4	0.244	0.429
5	0.244	0.389
6	0.244	0.429
7	0.244	0.389
8	0.244	0.429
9	0.244	0.389
10	0.244	0.429
11	0.244	0.389
12	0.244	0.000
13	0.244	0.000
14	0.244	0.000
15	0.244	0.000
16	0.244	0.000
17	0.244	0.306
18	0.244	0.286
19	0.244	0.306
20	0.244	0.286
21	0.244	0.306
22	0.244	0.286
23	0.244	0.306
24	0.244	0.286
25	0.244	0.306
26	0.244	0.286
27	0.244	0.306
28	0.244	0.286

Discretizzazione strutturale

Numero elementi fondazione	158
Numero elementi piedritto sinistro	74
Numero elementi piedritto destro	74
Numero molle piedritto sinistro	75
Numero molle piedritto destro	75

Analisi della combinazione n° 1

Pressione in calotta(solo peso terreno) 0.00 [kg/mq]

Carichi verticali in calotta

Xi	Xj	Q[kg/mq]
-12.54	27.54	0.00

Spinte sui piedritti

Piedritto sinistro	Pressione sup. 0.00 [kg/mq]	Pressione inf. 4323.80 [kg/mq]
Piedritto destro	Pressione sup. 0.00 [kg/mq]	Pressione inf. 4323.80 [kg/mq]

Analisi della combinazione n° 2

Pressione in calotta(solo peso terreno) 0.00 [kg/mq]

Carichi verticali in calotta

Xi	Xj	Q[kg/mq]
-12.54	27.54	0.00

Spinte sui piedritti

Piedritto sinistro	Pressione sup. 0.00 [kg/mq]	Pressione inf. 2275.68 [kg/mq]
Piedritto destro	Pressione sup. 0.00 [kg/mq]	Pressione inf. 2275.68 [kg/mq]

Falda

Spinta	39546[kg]
Sottospinta	10140[kg/mq]

Analisi della combinazione n° 3

Pressione in calotta(solo peso terreno) 0.00 [kg/mq]

Carichi verticali in calotta

Xi	Xj	Q[kg/mq]
-12.54	27.54	0.00

Spinte sui piedritti

Piedritto sinistro	Pressione sup. 0.00 [kg/mq]	Pressione inf. 2275.68 [kg/mq]
Piedritto destro	Pressione sup. 0.00 [kg/mq]	Pressione inf. 2275.68 [kg/mq]

Falda

Spinta	39546[kg]
Sottospinta	10140[kg/mq]

Analisi della combinazione n° 4

Pressione in calotta(solo peso terreno)	0.00 [kg/mq]
---	--------------

Carichi verticali in calotta

Xi	Xj	Q[kg/mq]
-12.54	27.54	0.00

Spinte sui piedritti

Piedritto sinistro	Pressione sup. 0.00 [kg/mq]	Pressione inf. 3326.00 [kg/mq]
Piedritto destro	Pressione sup. 0.00 [kg/mq]	Pressione inf. 3326.00 [kg/mq]

Spinte sismiche sui piedritti

Piedritto sinistro	Pressione sup. 1202.66 [kg/mq]	Pressione inf. 1202.66 [kg/mq]
--------------------	--------------------------------	--------------------------------

Analisi della combinazione n° 5

Pressione in calotta(solo peso terreno)	0.00 [kg/mq]
---	--------------

Carichi verticali in calotta

Xi	Xj	Q[kg/mq]
-12.54	27.54	0.00

Spinte sui piedritti

Piedritto sinistro Pressione sup. 0.00 [kg/mq] Pressione inf. 3326.00 [kg/mq]
Piedritto destro Pressione sup. 0.00 [kg/mq] Pressione inf. 3326.00 [kg/mq]

Spinte sismiche sui piedritti

Piedritto sinistro Pressione sup. 910.21 [kg/mq] Pressione inf. 910.21 [kg/mq]

Analisi della combinazione n° 6

Pressione in calotta(solo peso terreno) 0.00 [kg/mq]

Carichi verticali in calotta

Xi	Xj	Q[kg/mq]
-12.54	27.54	0.00

Spinte sui piedritti

Piedritto sinistro Pressione sup. 0.00 [kg/mq] Pressione inf. 1750.53 [kg/mq]
Piedritto destro Pressione sup. 0.00 [kg/mq] Pressione inf. 1750.53 [kg/mq]

Spinte sismiche sui piedritti

Piedritto sinistro Pressione sup. 632.98 [kg/mq] Pressione inf. 632.98 [kg/mq]

Falda

Spinta 30420[kg]
Sottospinta 7800[kg/mq]

Analisi della combinazione n° 7

Pressione in calotta(solo peso terreno) 0.00 [kg/mq]

Carichi verticali in calotta

Xi	Xj	Q[kg/mq]
-12.54	27.54	0.00

Spinte sui piedritti

Piedritto sinistro	Pressione sup. 0.00 [kg/mq]	Pressione inf. 1750.53 [kg/mq]
Piedritto destro	Pressione sup. 0.00 [kg/mq]	Pressione inf. 1750.53 [kg/mq]

Spinte sismiche sui piedritti

Piedritto sinistro	Pressione sup. 479.06 [kg/mq]	Pressione inf. 479.06 [kg/mq]
--------------------	-------------------------------	-------------------------------

Falda

Spinta	30420[kg]
Sottospinta	7800[kg/mq]

Analisi della combinazione n° 8

Pressione in calotta(solo peso terreno)	0.00 [kg/mq]
---	--------------

Carichi verticali in calotta

Xi	Xj	Q[kg/mq]
-12.54	27.54	0.00

Spinte sui piedritti

Piedritto sinistro	Pressione sup. 0.00 [kg/mq]	Pressione inf. 3326.00 [kg/mq]
Piedritto destro	Pressione sup. 0.00 [kg/mq]	Pressione inf. 3326.00 [kg/mq]

Spinte sismiche sui piedritti

Piedritto destro	Pressione sup. 1202.66 [kg/mq]	Pressione inf. 1202.66 [kg/mq]
------------------	--------------------------------	--------------------------------

Analisi della combinazione n° 9

Pressione in calotta(solo peso terreno)	0.00 [kg/mq]
---	--------------

Carichi verticali in calotta

Xi	Xj	Q[kg/mq]
-12.54	27.54	0.00

Spinte sui piedritti

Piedritto sinistro Pressione sup. 0.00 [kg/mq] Pressione inf. 3326.00 [kg/mq]
Piedritto destro Pressione sup. 0.00 [kg/mq] Pressione inf. 3326.00 [kg/mq]

Spinte sismiche sui piedritti

Piedritto destro Pressione sup. 910.21 [kg/mq] Pressione inf. 910.21 [kg/mq]

Analisi della combinazione n° 10

Pressione in calotta(solo peso terreno) 0.00 [kg/mq]

Carichi verticali in calotta

Xi	Xj	Q[kg/mq]
-12.54	27.54	0.00

Spinte sui piedritti

Piedritto sinistro Pressione sup. 0.00 [kg/mq] Pressione inf. 1750.53 [kg/mq]
Piedritto destro Pressione sup. 0.00 [kg/mq] Pressione inf. 1750.53 [kg/mq]

Spinte sismiche sui piedritti

Piedritto destro Pressione sup. 632.98 [kg/mq] Pressione inf. 632.98 [kg/mq]

Falda

Spinta 30420[kg]
Sottospinta 7800[kg/mq]

Analisi della combinazione n° 11

Pressione in calotta(solo peso terreno) 0.00 [kg/mq]

Carichi verticali in calotta

Xi	Xj	Q[kg/mq]
-12.54	27.54	0.00

Spinte sui piedritti

Piedritto sinistro	Pressione sup. 0.00 [kg/mq]	Pressione inf. 1750.53 [kg/mq]
Piedritto destro	Pressione sup. 0.00 [kg/mq]	Pressione inf. 1750.53 [kg/mq]

Spinte sismiche sui piedritti

Piedritto destro	Pressione sup. 479.06 [kg/mq]	Pressione inf. 479.06 [kg/mq]
------------------	-------------------------------	-------------------------------

Falda

Spinta	30420[kg]
Sottospinta	7800[kg/mq]

Analisi della combinazione n° 12

Pressione in calotta(solo peso terreno)	0.00 [kg/mq]
---	--------------

Carichi verticali in calotta

Xi	Xj	Q[kg/mq]
-12.54	27.54	0.00

Spinte sui piedritti

Piedritto sinistro	Pressione sup. 0.00 [kg/mq]	Pressione inf. 1750.53 [kg/mq]
Piedritto destro	Pressione sup. 0.00 [kg/mq]	Pressione inf. 1750.53 [kg/mq]

Falda

Spinta	30420[kg]
Sottospinta	7800[kg/mq]

Analisi della combinazione n° 13

Pressione in calotta(solo peso terreno)	0.00 [kg/mq]
---	--------------

Carichi verticali in calotta

Xi	Xj	Q[kg/mq]
-12.54	27.54	0.00

Spinte sui piedritti

Piedritto sinistro	Pressione sup. 0.00 [kg/mq]	Pressione inf. 1750.53 [kg/mq]
Piedritto destro	Pressione sup. 0.00 [kg/mq]	Pressione inf. 1750.53 [kg/mq]

Falda

Spinta	30420[kg]
Sottospinta	7800[kg/mq]

Analisi della combinazione n° 14

Pressione in calotta(solo peso terreno)	0.00 [kg/mq]
---	--------------

Carichi verticali in calotta

Xi	Xj	Q[kg/mq]
-12.54	27.54	0.00

Spinte sui piedritti

Piedritto sinistro	Pressione sup. 0.00 [kg/mq]	Pressione inf. 1750.53 [kg/mq]
Piedritto destro	Pressione sup. 0.00 [kg/mq]	Pressione inf. 1750.53 [kg/mq]

Falda

Spinta	30420[kg]
Sottospinta	7800[kg/mq]

Analisi della combinazione n° 15

Pressione in calotta(solo peso terreno)	0.00 [kg/mq]
---	--------------

Carichi verticali in calotta

Xi	Xj	Q[kg/mq]
-12.54	27.54	0.00

Spinte sui piedritti

Piedritto sinistro	Pressione sup. 0.00 [kg/mq]	Pressione inf. 1750.53 [kg/mq]
Piedritto destro	Pressione sup. 0.00 [kg/mq]	Pressione inf. 1750.53 [kg/mq]

Falda

Spinta	30420[kg]
Sottospinta	7800[kg/mq]

Analisi della combinazione n° 16

Pressione in calotta(solo peso terreno) 0.00 [kg/mq]

Carichi verticali in calotta

Xi	Xj	Q[kg/mq]
-12.54	27.54	0.00

Spinte sui piedritti

Piedritto sinistro	Pressione sup. 0.00 [kg/mq]	Pressione inf. 1750.53 [kg/mq]
Piedritto destro	Pressione sup. 0.00 [kg/mq]	Pressione inf. 1750.53 [kg/mq]

Falda

Spinta	30420[kg]
Sottospinta	7800[kg/mq]

Analisi della combinazione n° 17

Pressione in calotta(solo peso terreno) 0.00 [kg/mq]

Carichi verticali in calotta

Xi	Xj	Q[kg/mq]
-12.54	27.54	0.00

Spinte sui piedritti

Piedritto sinistro	Pressione sup. 0.00 [kg/mq]	Pressione inf. 1750.53 [kg/mq]
Piedritto destro	Pressione sup. 0.00 [kg/mq]	Pressione inf. 1750.53 [kg/mq]

Spinte sismiche sui piedritti

Piedritto sinistro	Pressione sup. 217.71 [kg/mq]	Pressione inf. 217.71 [kg/mq]
--------------------	-------------------------------	-------------------------------

Falda

Spinta	30420[kg]
Sottospinta	7800[kg/mq]

Analisi della combinazione n° 18

Pressione in calotta(solo peso terreno)	0.00 [kg/mq]
---	--------------

Carichi verticali in calotta

Xi	Xj	Q[kg/mq]
-12.54	27.54	0.00

Spinte sui piedritti

Piedritto sinistro	Pressione sup. 0.00 [kg/mq]	Pressione inf. 1750.53 [kg/mq]
Piedritto destro	Pressione sup. 0.00 [kg/mq]	Pressione inf. 1750.53 [kg/mq]

Spinte sismiche sui piedritti

Piedritto sinistro	Pressione sup. 145.83 [kg/mq]	Pressione inf. 145.83 [kg/mq]
--------------------	-------------------------------	-------------------------------

Falda

Spinta	30420[kg]
Sottospinta	7800[kg/mq]

Analisi della combinazione n° 19

Pressione in calotta(solo peso terreno) 0.00 [kg/mq]

Carichi verticali in calotta

Xi	Xj	Q[kg/mq]
-12.54	27.54	0.00

Spinte sui piedritti

Piedritto sinistro	Pressione sup. 0.00 [kg/mq]	Pressione inf. 1750.53 [kg/mq]
Piedritto destro	Pressione sup. 0.00 [kg/mq]	Pressione inf. 1750.53 [kg/mq]

Spinte sismiche sui piedritti

Piedritto destro	Pressione sup. 217.71 [kg/mq]	Pressione inf. 217.71 [kg/mq]
------------------	-------------------------------	-------------------------------

Falda

Spinta	30420[kg]
Sottospinta	7800[kg/mq]

Analisi della combinazione n° 20

Pressione in calotta(solo peso terreno) 0.00 [kg/mq]

Carichi verticali in calotta

Xi	Xj	Q[kg/mq]
-12.54	27.54	0.00

Spinte sui piedritti

Piedritto sinistro	Pressione sup. 0.00 [kg/mq]	Pressione inf. 1750.53 [kg/mq]
Piedritto destro	Pressione sup. 0.00 [kg/mq]	Pressione inf. 1750.53 [kg/mq]

Spinte sismiche sui piedritti

Piedritto destro	Pressione sup. 145.83 [kg/mq]	Pressione inf. 145.83 [kg/mq]
------------------	-------------------------------	-------------------------------

Falda

Spinta	30420[kg]
Sottospinta	7800[kg/mq]

Analisi della combinazione n° 21

Pressione in calotta(solo peso terreno) 0.00 [kg/mq]

Carichi verticali in calotta

Xi	Xj	Q[kg/mq]
-12.54	27.54	0.00

Spinte sui piedritti

Piedritto sinistro	Pressione sup. 0.00 [kg/mq]	Pressione inf. 1750.53 [kg/mq]
Piedritto destro	Pressione sup. 0.00 [kg/mq]	Pressione inf. 1750.53 [kg/mq]

Spinte sismiche sui piedritti

Piedritto sinistro	Pressione sup. 217.71 [kg/mq]	Pressione inf. 217.71 [kg/mq]
--------------------	-------------------------------	-------------------------------

Falda

Spinta	30420[kg]
Sottospinta	7800[kg/mq]

Analisi della combinazione n° 22

Pressione in calotta(solo peso terreno) 0.00 [kg/mq]

Carichi verticali in calotta

Xi	Xj	Q[kg/mq]
-12.54	27.54	0.00

Spinte sui piedritti

Piedritto sinistro	Pressione sup. 0.00 [kg/mq]	Pressione inf. 1750.53 [kg/mq]
Piedritto destro	Pressione sup. 0.00 [kg/mq]	Pressione inf. 1750.53 [kg/mq]

Spinte sismiche sui piedritti

Piedritto sinistro	Pressione sup. 145.83 [kg/mq]	Pressione inf. 145.83 [kg/mq]
--------------------	-------------------------------	-------------------------------

Falda

Spinta	30420[kg]
Sottospinta	7800[kg/mq]

Analisi della combinazione n° 23

Pressione in calotta(solo peso terreno)	0.00 [kg/mq]
---	--------------

Carichi verticali in calotta

Xi	Xj	Q[kg/mq]
-12.54	27.54	0.00

Spinte sui piedritti

Piedritto sinistro	Pressione sup. 0.00 [kg/mq]	Pressione inf. 1750.53 [kg/mq]
Piedritto destro	Pressione sup. 0.00 [kg/mq]	Pressione inf. 1750.53 [kg/mq]

Spinte sismiche sui piedritti

Piedritto destro	Pressione sup. 217.71 [kg/mq]	Pressione inf. 217.71 [kg/mq]
------------------	-------------------------------	-------------------------------

Falda

Spinta	30420[kg]
Sottospinta	7800[kg/mq]

Analisi della combinazione n° 24

Pressione in calotta(solo peso terreno) 0.00 [kg/mq]

Carichi verticali in calotta

Xi	Xj	Q[kg/mq]
-12.54	27.54	0.00

Spinte sui piedritti

Piedritto sinistro	Pressione sup. 0.00 [kg/mq]	Pressione inf. 1750.53 [kg/mq]
Piedritto destro	Pressione sup. 0.00 [kg/mq]	Pressione inf. 1750.53 [kg/mq]

Spinte sismiche sui piedritti

Piedritto destro	Pressione sup. 145.83 [kg/mq]	Pressione inf. 145.83 [kg/mq]
------------------	-------------------------------	-------------------------------

Falda

Spinta	30420[kg]
Sottospinta	7800[kg/mq]

Analisi della combinazione n° 25

Pressione in calotta(solo peso terreno) 0.00 [kg/mq]

Carichi verticali in calotta

Xi	Xj	Q[kg/mq]
-12.54	27.54	0.00

Spinte sui piedritti

Piedritto sinistro	Pressione sup. 0.00 [kg/mq]	Pressione inf. 1750.53 [kg/mq]
Piedritto destro	Pressione sup. 0.00 [kg/mq]	Pressione inf. 1750.53 [kg/mq]

Spinte sismiche sui piedritti

Piedritto sinistro	Pressione sup. 217.71 [kg/mq]	Pressione inf. 217.71 [kg/mq]
--------------------	-------------------------------	-------------------------------

Falda

Spinta	30420[kg]
Sottospinta	7800[kg/mq]

Analisi della combinazione n° 26

Pressione in calotta(solo peso terreno) 0.00 [kg/mq]

Carichi verticali in calotta

Xi	Xj	Q[kg/mq]
-12.54	27.54	0.00

Spinte sui piedritti

Piedritto sinistro	Pressione sup. 0.00 [kg/mq]	Pressione inf. 1750.53 [kg/mq]
Piedritto destro	Pressione sup. 0.00 [kg/mq]	Pressione inf. 1750.53 [kg/mq]

Spinte sismiche sui piedritti

Piedritto sinistro	Pressione sup. 145.83 [kg/mq]	Pressione inf. 145.83 [kg/mq]
--------------------	-------------------------------	-------------------------------

Falda

Spinta	30420[kg]
Sottospinta	7800[kg/mq]

Analisi della combinazione n° 27

Pressione in calotta(solo peso terreno) 0.00 [kg/mq]

Carichi verticali in calotta

Xi	Xj	Q[kg/mq]
-12.54	27.54	0.00

Spinte sui piedritti

Piedritto sinistro	Pressione sup. 0.00 [kg/mq]	Pressione inf. 1750.53 [kg/mq]
Piedritto destro	Pressione sup. 0.00 [kg/mq]	Pressione inf. 1750.53 [kg/mq]

Spinte sismiche sui piedritti

Piedritto destro	Pressione sup. 217.71 [kg/mq]	Pressione inf. 217.71 [kg/mq]
------------------	-------------------------------	-------------------------------

Falda

Spinta	30420[kg]
Sottospinta	7800[kg/mq]

Analisi della combinazione n° 28

Pressione in calotta(solo peso terreno)	0.00 [kg/mq]
---	--------------

Carichi verticali in calotta

Xi	Xj	Q[kg/mq]
-12.54	27.54	0.00

Spinte sui piedritti

Piedritto sinistro	Pressione sup. 0.00 [kg/mq]	Pressione inf. 1750.53 [kg/mq]
Piedritto destro	Pressione sup. 0.00 [kg/mq]	Pressione inf. 1750.53 [kg/mq]

Spinte sismiche sui piedritti

Piedritto destro	Pressione sup. 145.83 [kg/mq]	Pressione inf. 145.83 [kg/mq]
------------------	-------------------------------	-------------------------------

Falda

Spinta	30420[kg]
Sottospinta	7800[kg/mq]

8. DICHIARAZIONI SECONDO N.T.C. 2018 (punto 10.2)

Tipo di analisi svolta

L'analisi strutturale e le verifiche sono condotte con l'ausilio di un codice di calcolo automatico. La verifica della sicurezza degli elementi strutturali è stata valutata con i metodi della scienza delle costruzioni.

Il calcolo dei muri di sostegno viene eseguito secondo le seguenti fasi:

- Calcolo della spinta del terreno
- Verifica a ribaltamento
- Verifica a scorrimento del muro sul piano di posa
- Verifica della stabilità complesso fondazione terreno (carico limite)
- Verifica della stabilità globale
- Calcolo delle sollecitazioni sia del muro che della fondazione, progetto delle armature e relative verifiche dei materiali.

L'analisi strutturale sotto le azioni sismiche è condotta con il metodo dell'analisi statica equivalente secondo le disposizioni del capitolo 7 del D.M. 17/01/2018.

La verifica delle sezioni degli elementi strutturali è eseguita con il metodo degli Stati Limite. Le combinazioni di carico adottate sono esaustive relativamente agli scenari di carico più gravosi cui l'opera sarà soggetta.

Origine e caratteristiche dei codici di calcolo

Titolo SCAT – Software Strutture Scatolari

Versione 14.0

Produttore Aztec Informatica srl, Casali del Manco - loc. Casole Bruzio (CS)

Licenza AIU4549JP

Affidabilità dei codici di calcolo

Un attento esame preliminare della documentazione a corredo del software ha consentito di valutarne l'affidabilità. La documentazione fornita dal produttore del software contiene un'esauriente descrizione delle basi teoriche, degli algoritmi impiegati e l'individuazione dei campi d'impiego. La società produttrice Aztec Informatica srl ha verificato l'affidabilità e la robustezza del codice di calcolo attraverso un numero significativo di casi prova in cui i risultati dell'analisi numerica sono stati confrontati con soluzioni teoriche.

Modalità di presentazione dei risultati

La relazione di calcolo strutturale presenta i dati di calcolo tale da garantirne la leggibilità, la corretta interpretazione e la riproducibilità. La relazione di calcolo illustra in modo esaustivo i dati in ingresso ed i risultati delle analisi in forma tabellare.

Informazioni generali sull'elaborazione

Il software prevede una serie di controlli automatici che consentono l'individuazione di errori di modellazione, di non rispetto di limitazioni geometriche e di armatura e di presenza di elementi non verificati. Il codice di calcolo consente di visualizzare e controllare, sia in forma grafica che tabellare, i dati del modello strutturale, in modo da avere una visione consapevole del comportamento corretto del modello strutturale.

Giudizio motivato di accettabilità dei risultati

I risultati delle elaborazioni sono stati sottoposti a controlli dal sottoscritto utente del software. Tale valutazione ha compreso il confronto con i risultati di semplici calcoli, eseguiti con metodi tradizionali. Inoltre sulla base di considerazioni riguardanti gli stati tensionali e deformativi determinati, si è valutata la validità delle scelte operate in sede di schematizzazione e di modellazione della struttura e delle azioni.

In base a quanto sopra, io sottoscritto asserisco che l'elaborazione è corretta ed idonea al caso specifico, pertanto i risultati di calcolo sono da ritenersi validi ed accettabili.